

Роль сжимаемости в моделях геофизических процессов.

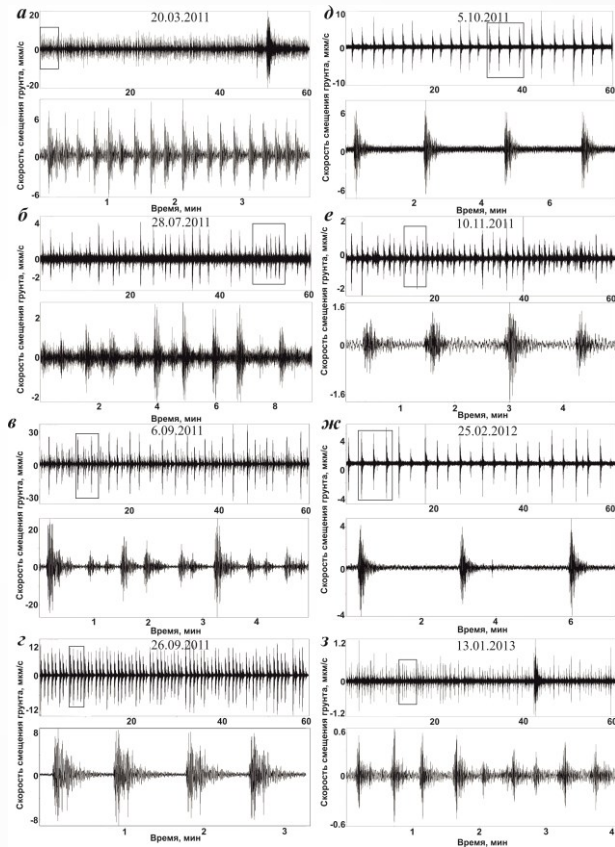
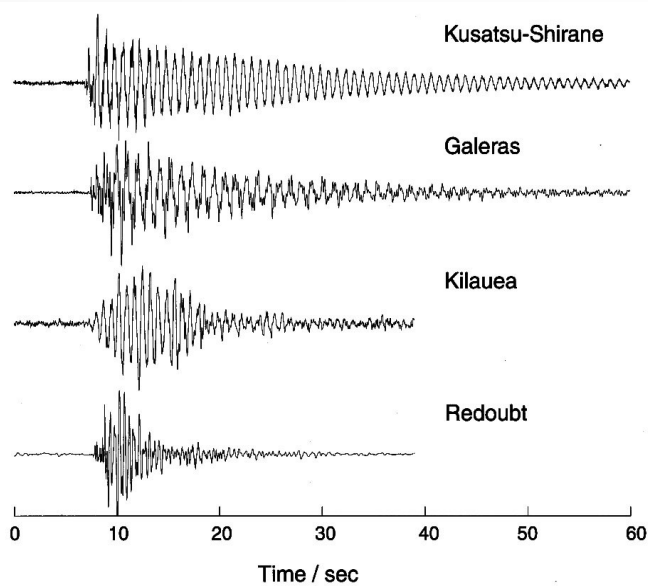
Радионов Анатолий Анатольевич, к.т.н.

Южный математический институт ВЦ РАН
2023 г.

Сжимаемость – свойство вещества изменять свой объём под действием внешнего давления. Сжимаемость характеризуется адиабатическим коэффициентом сжимаемости, который определяется формулой

$$\beta_S = -\frac{1}{V} \left(\frac{\partial V}{\partial p} \right)_S = \frac{1}{\rho} \left(\frac{\partial \rho}{\partial p} \right)_S \approx c_0^{-2}$$

Аналитическая модель механизма образования низкочастотных сейсмических событий



Вулкан Кизимен

Аналитическая модель механизма образования низкочастотных сейсмических событий

Реология Максвелла.

$$\sigma^{ij} + \lambda \frac{\partial \sigma^{ij}}{\partial t} = \mu \varepsilon^{ij},$$

ε^{ij} – тензор скоростей деформаций.

σ^{ij} – тензор напряжений.

$\lambda = \mu/E$ – время релаксации

μ – вязкость

E – модуль упругости

Аналитическая модель механизма образования низкочастотных сейсмических событий

Несжимаемое решение, реология Максвелла.

$$\frac{\partial^2 w}{\partial t^2} + \frac{1}{\lambda} \left(\frac{\partial w}{\partial t} + \frac{1}{\rho_0} \frac{\partial p}{\partial z} + g \right) = \frac{\mu}{\lambda \rho_0} \left(\frac{\partial^2 w}{\partial r^2} + \frac{1}{r} \frac{\partial w}{\partial r} \right)$$

$$w(r, t = 0) = \varphi(r), \quad \frac{\partial w}{\partial t}(r, t = 0) = \psi(r)$$

$$w(r = 0) < \infty \quad w(r = R) = 0$$

$$\gamma_n^2 = \rho_0^2 - 4\lambda\mu\rho_0\omega_{0,n}^2 R^{-2}, \quad \gamma_n^2 < 0$$

$$w(r, t) = -\frac{\partial p / \partial z + \rho_0 g}{4\mu} (R^2 - r^2) + \\ + \exp\left(-\frac{t}{2\lambda}\right) \sum_{n=1}^{n=\infty} J_0\left(\omega_{0,n} \frac{r}{R}\right) \times \left[(\varphi_n - w_{Pn}) \cos\left(t \frac{\gamma_n}{2\lambda\rho_0}\right) + \right. \\ \left. + \left(\psi_n + \frac{\varphi_n - w_{Pn}}{2\lambda} \right) \frac{2\lambda\rho_0}{\gamma_n} \sin\left(t \frac{\gamma_n}{2\lambda\rho_0}\right) \right]$$

Аналитическая модель механизма образования низкочастотных сейсмических событий

Сопоставление с сейсмическими данными Эльбрусского вулканического центра

$$\vartheta_n = \frac{(4\lambda\mu\rho_0\omega_{0,n}^2 R^{-2} - \rho_0^2)^{1/2}}{2\lambda\rho_0}$$

Экспериментальные данные:

Мода P, период T, сек = (100, 92, 83, 76, 62, 58, 52, 50);

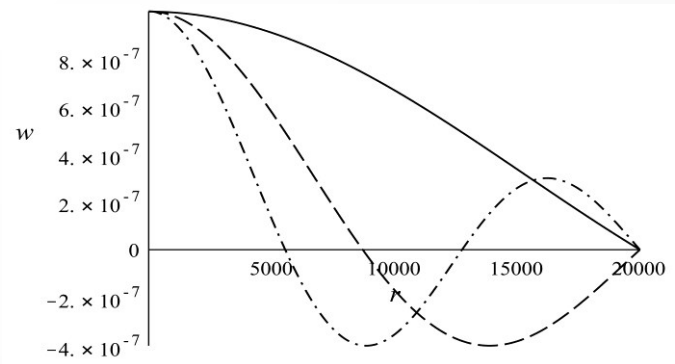
добротность Q = (100, 120, 140, 140, 170, 180, 140, 200).

$$\rho_0 = 2700$$

$$R = 20000$$

$$\lambda \approx QT / (4\pi)$$

$$\mu \approx 8 \cdot 10^{11} \div 10^{12} \text{ м}^2/\text{с}$$



$\vartheta_1 \approx 0.0732$ или период 86 сек для первой моды

Аналитическая модель механизма образования низкочастотных сейсмических событий

Сжимаемое решение. реология Максвелла.

Уравнение неразрывности:

$$\frac{1}{\rho_0} \frac{\partial \varrho}{\partial t} + \frac{1}{r} \frac{\partial (ru)}{\partial r} + \frac{\partial w}{\partial z} = 0.$$

Уравнение для радиальной компоненты скорости:

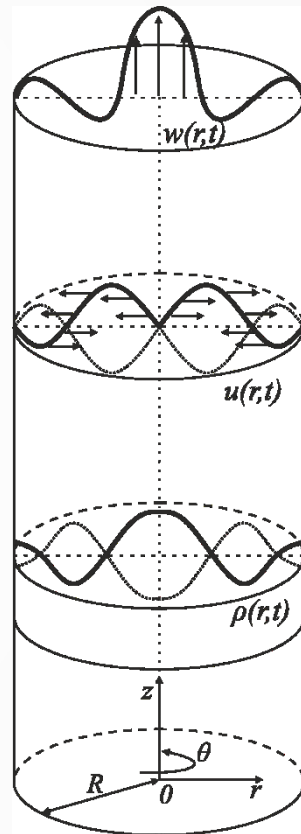
$$\frac{\partial^2 u}{\partial t^2} + \frac{1}{\lambda} \frac{\partial u}{\partial t} - \frac{\mu}{\lambda \rho_0} \left(\frac{\partial^2 u}{\partial r^2} + \frac{1}{r} \frac{\partial u}{\partial r} - \frac{u}{r^2} \right) = - \frac{1}{\rho_0} \frac{\partial^2 p}{\partial r \partial t} - \frac{1}{\lambda \rho_0} \frac{\partial p}{\partial r}.$$

Граничные условия: $u(r = R) = 0$ $\partial \varrho / \partial r (r = R) = 0$

Начальные условия: $\varrho(r, t = 0) = \varphi(r)$; $\frac{\partial \varrho}{\partial t}(r, t = 0) = \psi(r)$

Дополнительные условия: $\partial w / \partial z = 0$

$$\partial u / \partial z = 0$$



Аналитическая модель механизма образования низкочастотных сейсмических событий

Сжимаемое решение. Отличается от несжимаемого решения.

$$q(r, t) = \exp\left(-\frac{t}{2\lambda}\right) \sum_{n=1}^{\infty} J_0\left(\omega_{1,n} \frac{r}{R}\right) \times \left[\varphi_n \cos(t\gamma_n) + \frac{1}{\gamma_n} \left(\psi_n + \frac{\varphi_n}{2\lambda} \right) \sin(t\gamma_n) \right],$$

$$u(r, t) = \exp\left(-\frac{t}{2\lambda}\right) \sum_{n=1}^{\infty} J_1\left(\omega_{1,n} \frac{r}{R}\right) \frac{R}{\omega_{1,n} \rho_0} \times \left[-\psi_n \cos(t\gamma_n) + \left(\varphi_n \frac{4\gamma_n^2 \lambda^2 + 1}{4\lambda^2 \gamma_n} + \frac{\psi_n}{2\gamma_n \lambda} \right) \sin(t\gamma_n) \right].$$

Здесь $J_0(x)$, $J_1(x)$ – функция Бесселя нулевого и первого порядка, соответственно. Обозначено: φ_n – коэффициент разложения функции $\varphi(r)$ в ряд по функциям Бесселя $J_1(\omega_{1,n} r/R)$, $n = 1, 2, 3, \dots$, а ψ_n – коэффициент разложения функции $\psi(r)$ в такой же ряд.

$$\gamma_n^2 = \frac{\mu}{\lambda \rho_0} \frac{\omega_{1,n}^2}{R^2} - \frac{1}{4\lambda^2},$$

$\omega_{1,n}$ – n -й положительный корень уравнения $J_1(\omega) = 0$, $n = 1, 2, 3, \dots$ Выражения (9, 10) записаны для случая $\gamma_n^2 > 0$, когда возможно осциллирующее поведение во времени.

Аналитическая модель механизма образования низкочастотных сейсмических событий

Сжимаемое решение. Влияние на вертикальную скорость

$$\frac{\partial^2 w}{\partial t^2} + \frac{1}{\lambda} \frac{\partial w}{\partial t} - \frac{\mu}{\lambda \rho_0} \left(\frac{\partial^2 w}{\partial r^2} + \frac{1}{r} \frac{\partial w}{\partial r} \right) = -\frac{\Delta p}{\lambda \rho_0} + \frac{g}{\lambda \rho_0} \varrho + \frac{g}{\lambda \rho_0} \varrho, \quad \rho = \rho_0 + \varrho$$

$$\frac{\partial^2 u}{\partial t^2} + \frac{1}{\lambda} \frac{\partial u}{\partial t} - \frac{\mu}{\lambda \rho_0} \left(\frac{\partial^2 u}{\partial r^2} + \frac{1}{r} \frac{\partial u}{\partial r} - \frac{u}{r^2} \right) = -\frac{1}{\rho_0} \frac{\partial^2 p}{\partial r \partial t} - \frac{1}{\lambda \rho_0} \frac{\partial p}{\partial r},$$

При нулевых начальных и граничных условиях вертикальная компонента скорости определяется только правой частью уравнения или решением для плотности. Уравнение для вертикальной компоненты скорости имеет аналитическое решение вида (нулевые начальные условия):

$$w(r, t) = -\exp\left(-\frac{t}{2\lambda}\right) \frac{g}{\lambda \rho_0} \sum_{n=1}^{\infty} W_{i,n}$$

$$W_{i,n} = -\frac{2\lambda J_0\left(\omega_{0,n} \frac{r}{R}\right) [\omega_{1,i} J_0(\omega_{0,n}) J_1(\omega_{1,i}) - \omega_{0,n} J_1(\omega_{0,n}) J_0(\omega_{1,i})]}{\gamma_i \delta_n J_1^2(\omega_{0,n}) (\omega_{1,i}^2 - \omega_{0,n}^2) \left(\frac{1}{4} + (\delta_n + \gamma_i)^2 \lambda^2\right) \left(\frac{1}{4} + (\delta_n - \gamma_i)^2 \lambda^2\right)} \times \left[-\gamma_i \lambda \exp\left(-\frac{t}{2\lambda}\right) (\delta_n a_{i,n} \cos(\delta_n t) - b_{i,n} \sin(\delta_n t)) + a_{i,n} \lambda \gamma_i \cos(\gamma_i t) - c_{i,n} \delta_n \sin(\gamma_i t) \right],$$

$$\delta_n^2 = \frac{\mu}{\lambda \rho_0} \frac{\omega_{0,i}^2}{R^2} - \frac{1}{4\lambda^2},$$

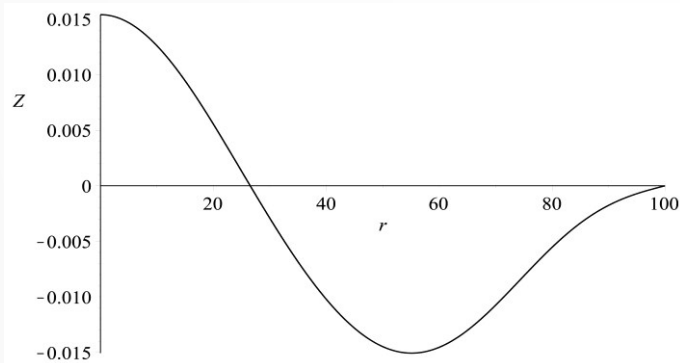
$a_{i,n} = \dots, b_{i,n} = \dots, c_{i,n} = \dots$
Громоздкие выражения...

Аналитическая модель механизма образования низкочастотных сейсмических событий

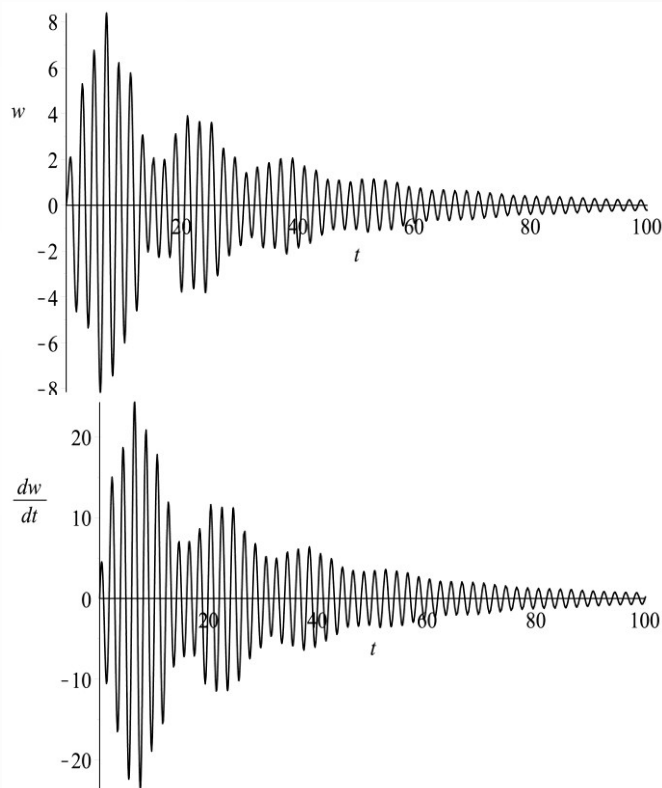
Сжимаемое решение. Влияние на вертикальную скорость

возмущение плотности $\varphi_2 = 1 \div 1000$ кг/м³, $\psi_n = 0$,
длина канала 1000 м.

На основе (9) можно оценить горизонтальные скорости движения фронта волны, как $\delta_n R / \omega_{0,n} \approx 31,7$ м/с и $\gamma_i R / \omega_{0,n} \approx 44,8$ м/с и мало зависят от номера гармоники. В наблюдениях отмечаются для скорости движения фронта деформации скорости от 30 до 50 м/с, что позволяет сделать вывод, что модель удовлетворительно описывает наблюдения.



Остаточные смещения поверхности кратера



Задача о равновесии столба несжимаемой атмосферы.

Математическое решение строится с предположением о нулевых скоростях течения воздуха в столбе, тогда уравнения движения упрощаются до гипсометрического уравнения $dp/dz = -\rho g$, которое интегрируется с граничным условием $p(z = 0) = p_b$ и получается барометрическая формула:

$$p = p_b \exp\left(-\frac{g}{R_a \theta_0} z\right) = p_b \exp\left(-\frac{z}{H}\right),$$

где p – давление, ρ – плотность, z – вертикальная координата, $H = R_a \theta_0 / g \approx 8,4$ км – высота средней атмосферы, θ_0 – средняя по столбу абсолютная температура, R_a – универсальная газовая постоянная атмосферного воздуха, g – ускорение свободного падения, принимаемое константой. Адиабатическая температура:

$$T(z) = T_b - \gamma_a z,$$

где $\gamma_a \approx -0.0098$ К/м – сухоадиабатический градиент температуры.

Задача о равновесии столба сжимаемой атмосферы.

Управляющие уравнения

уравнение неразрывности

$$\frac{\partial \rho}{\partial \tau} + \rho D = 0,$$

где $D = \partial u / \partial x + \partial v / \partial y + \partial w / \partial z$ – дивергенция скорости,

$\vec{v} = (u, v, w)$ – вектор скорости по координатам (x, y, z) ,

соответственно, ρ – плотность, $\partial / \partial \tau = \partial / \partial t + \vec{v} \cdot \vec{\nabla}$ – оператор Стокса.

Часто используется это уравнение в виде $D = 0$, что позволяет описывать несжимаемые течения жидкости.

Задача о равновесии столба сжимаемой атмосферы.

уравнение сохранения импульса

$$\rho \frac{\partial u}{\partial \tau} = -\frac{\partial p}{\partial x} + \rho f v + \mu_1 \nabla^2 u + \mu_2 \frac{\partial D}{\partial x};$$

$$\rho \frac{\partial v}{\partial \tau} = -\frac{\partial p}{\partial y} - \rho f u + \mu_1 \nabla^2 v + \mu_2 \frac{\partial D}{\partial y};$$

$$\rho \frac{\partial w}{\partial \tau} = -\frac{\partial p}{\partial z} - \rho g + \mu_1 \nabla^2 w + \mu_2 \frac{\partial D}{\partial z}.$$

где p – давление, f – параметр Кориолиса, μ_1 – турбулентная вязкость воздуха, $\mu_2 = \zeta + \mu_1/3$, где ζ – вторая вязкость. Для описания турбулентности используется подход Экмана.

Задача о равновесии столба сжимаемой атмосферы.

уравнение для энергии/температуры

$$\frac{\partial \theta}{\partial t} = \frac{1}{c_V} \frac{p}{\rho^2} \frac{\partial \rho}{\partial t} + \frac{1}{\rho c_V} \frac{\partial}{\partial z} \left(c_Q \frac{\partial \theta}{\partial z} \right) + \frac{Q}{\rho c_V},$$

где θ , c_V , c_Q , Q – абсолютная температура, теплоемкость, теплопроводность, мощность источников/стоков тепла столба атмосферного воздуха, соответственно. В несжимаемом случае первое слагаемое в правой части не учитывается.

Это уравнение с использованием адиабатической температуры T :

$$\frac{\partial \theta}{\partial t} = \frac{\partial T}{\partial t} + \frac{1}{\rho c_V} \frac{\partial}{\partial z} \left(c_Q \frac{\partial \theta}{\partial z} \right) + \frac{Q}{\rho c_V}.$$

Задача о равновесии столба сжимаемой атмосферы.

Уравнения гидродинамики

уравнение состояния

$$p = \rho R_a \theta.$$

R_a – универсальная газовая постоянная атмосферного воздуха

Уравнение состояния для адиабатических процессов

$$p = A \rho^\gamma,$$

где A – константа, определяемая из граничных условий,

$\gamma = 1.4$ – показатель адиабаты.

Задача о равновесии столба сжимаемой атмосферы.

Уравнение для плотности или давления

$$\begin{aligned} \frac{\partial D}{\partial \tau} + D^2 - 2 \frac{\partial(u, v)}{\partial(x, y)} - 2 \frac{\partial(u, w)}{\partial(x, z)} - 2 \frac{\partial(v, w)}{\partial(y, z)} = \\ = -\frac{1}{\rho} \nabla^2 p + \frac{\nabla \rho \cdot \nabla p}{\rho^2} - \frac{\partial g}{\partial z} + f \xi + \frac{\mu_1 + \mu_2}{\rho} \nabla^2 D \end{aligned}$$

где f принимается константой, $\xi = \partial u / \partial y - \partial v / \partial x$ и использовано

$$\left(\frac{\partial u}{\partial x} \right)^2 + \left(\frac{\partial v}{\partial y} \right)^2 + \left(\frac{\partial w}{\partial z} \right)^2 \equiv D^2 - 2 \frac{\partial u}{\partial x} \frac{\partial v}{\partial y} - 2 \frac{\partial u}{\partial x} \frac{\partial w}{\partial z} - 2 \frac{\partial v}{\partial y} \frac{\partial w}{\partial z},$$

якобианы:

$$\begin{aligned} \frac{\partial(u, v)}{\partial(x, y)} &= \frac{\partial u}{\partial x} \frac{\partial v}{\partial y} - \frac{\partial u}{\partial y} \frac{\partial v}{\partial x}, \quad \frac{\partial(u, w)}{\partial(x, z)} = \frac{\partial u}{\partial x} \frac{\partial w}{\partial z} - \frac{\partial u}{\partial z} \frac{\partial w}{\partial x}, \quad \frac{\partial(v, w)}{\partial(y, z)} \\ &= \frac{\partial v}{\partial y} \frac{\partial w}{\partial z} - \frac{\partial v}{\partial z} \frac{\partial w}{\partial y}. \end{aligned}$$

Задача о равновесии столба сжимаемой атмосферы.

Уравнение для плотности или давления

$$\frac{\partial^2 \rho}{\partial t^2} - \frac{2}{\rho} \left(\frac{\partial \rho}{\partial t} \right)^2 = \frac{\partial^2 p}{\partial z^2} + g \frac{\partial \rho}{\partial z} + \rho \frac{\partial g}{\partial z} + (\mu_1 + \mu_2) \frac{\partial^2}{\partial z^2} \left(\frac{1}{\rho} \frac{\partial \rho}{\partial t} \right).$$

для адиабатической температуры T :

$$\frac{\partial^2 T}{\partial t^2} - \frac{\gamma}{\gamma - 1} \frac{1}{T} \left(\frac{\partial T}{\partial t} \right)^2 = c^2 \left(\frac{\partial^2 T}{\partial z^2} + \frac{1}{\gamma - 1} \frac{1}{T} \left(\frac{\partial T}{\partial z} \right)^2 \right) + g \frac{\partial T}{\partial z} + (\gamma - 1) T \frac{\partial g}{\partial z},$$

$$\frac{\partial T}{\partial z}(z = 0, t) = T_{zb}(t), T(z = 0, t) = T_b(t),$$

где $T_{zb}(t), T_b(t)$ – известные функции времени. В качестве начального условия используется некоторый профиль $T_s(z)$, известный из данных эксперимента. В численных моделях граничное условие ставится на несуществующей верхней границе.

Задача о равновесии столба сжимаемой атмосферы.

Стационарное решение

При упрощающих предположениях: 1) ускорение свободного падения: $g = Const$ и градиента: $\partial g / \partial z = g_z = Const$, 2) постоянство скорости звука $c^2 = c_0^2$, стационарное решение:

$$T(z) = \exp\left(-z \frac{g(\gamma - 1) + \sqrt{\delta}}{2\gamma c_0^2}\right) \left[\frac{\gamma^2 c_0^4}{\delta} \left(C_1 \exp\left(\frac{z\sqrt{\delta}}{(\gamma - 1)c_0^2}\right) - C_2 \right)^2 \right]^{\frac{\gamma-1}{2\gamma}},$$

где $\delta = (\gamma - 1)(4\gamma g_z c_0^2 + \gamma g^2 - g^2)$,

$$C_1 = T_b^{\frac{\gamma}{\gamma-1}} \left(\frac{T_{zb}}{T_b} + \frac{g(\gamma - 1) + \sqrt{\delta}}{2\gamma c_0^2} \right), C_2 = T_b^{\frac{\gamma}{\gamma-1}} \left(\frac{T_{zb}}{T_b} + \frac{g(\gamma - 1) - \sqrt{\delta}}{2\gamma c_0^2} \right).$$

Задача о равновесии столба сжимаемой атмосферы.

Нестационарные решения

$$T = T_S \frac{\exp\left(-z \frac{g(\gamma - 1) + \sqrt{\delta}}{2\gamma c_0^2}\right)}{\cos^2\left(t \sqrt{\frac{\lambda_T}{\gamma - 1}}\right)^{\frac{\gamma-1}{2}}} \left[\frac{\gamma^2 c_0^4}{\delta} \left(C_3 \exp\left(\frac{z\sqrt{\delta}}{(\gamma - 1)c_0^2}\right) - C_4 \right)^2 \right]^{\frac{\gamma-1}{2\gamma}},$$

где $\delta = (\gamma - 1) \left(4\gamma\lambda_T c_0^4 - 4\gamma g_z c_0^2 (\gamma - 1) + g^2 (\gamma - 1) \right)$,

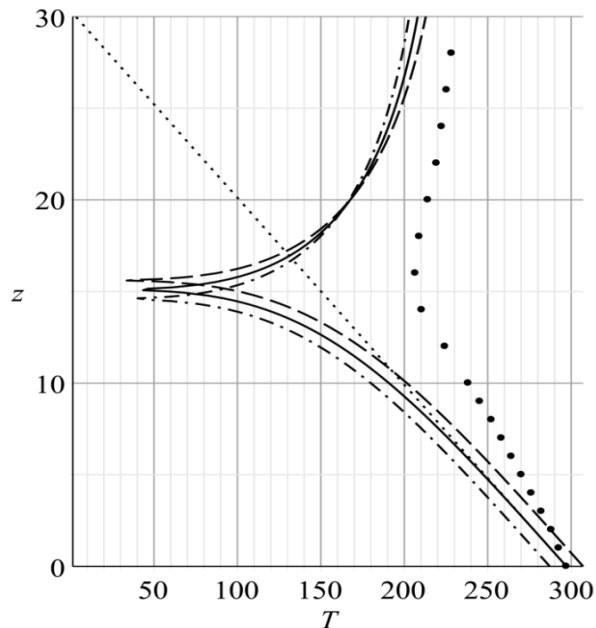
$$C_3 = T_b^{\frac{\gamma}{\gamma-1}} \left(\frac{T_{zb}}{T_b} + \frac{g(\gamma - 1) + \sqrt{\delta}}{2\gamma c_0^2} \right), C_4 = T_b^{\frac{\gamma}{\gamma-1}} \left(\frac{T_{zb}}{T_b} + \frac{g(\gamma - 1) - \sqrt{\delta}}{2\gamma c_0^2} \right).$$

Нестационарное решение для давления:

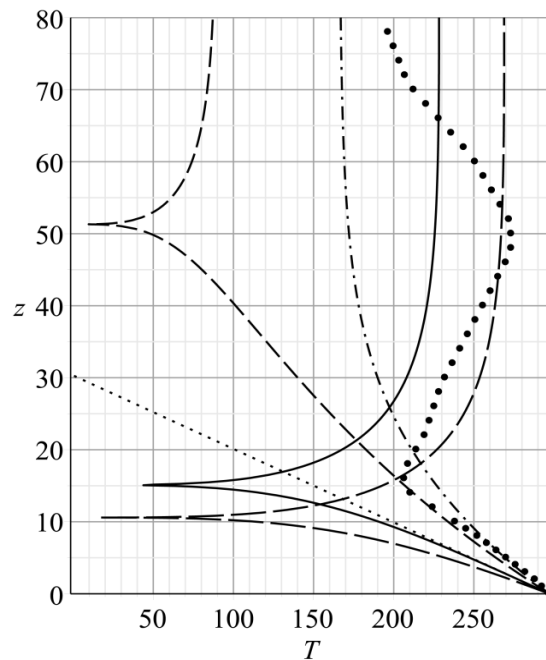
$$p = p_s \left[\cos^2\left(t \sqrt{\frac{\lambda_p}{\gamma}}\right) \right]^{-\frac{\gamma}{2}} \exp\left(-\frac{g + \sqrt{g^2 - 4(\gamma g_z - \lambda_p)c_0^2}}{2c_0^2} z\right),$$

Задача о равновесии столба сжимаемой атмосферы.

Сжимаемое стационарное решение отличается от несжимаемого решения выше 8 км существенно, а ниже – практически совпадает.



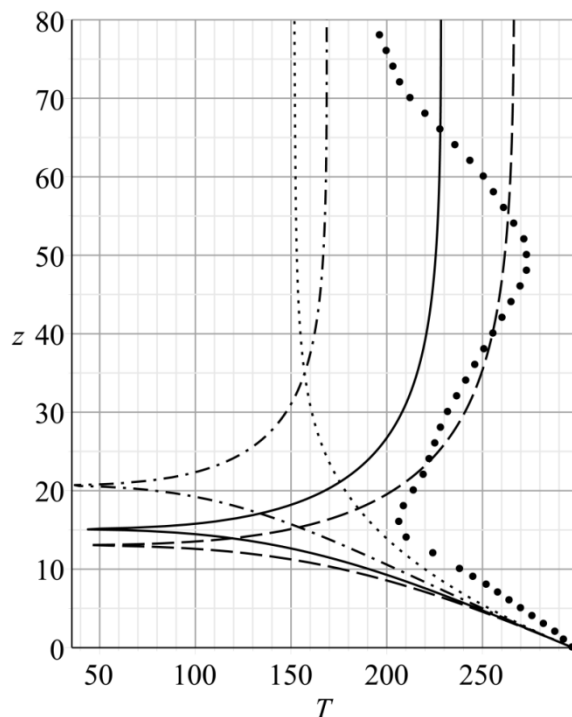
Профили аналитического решения при различных значениях приземной температуры T_b .



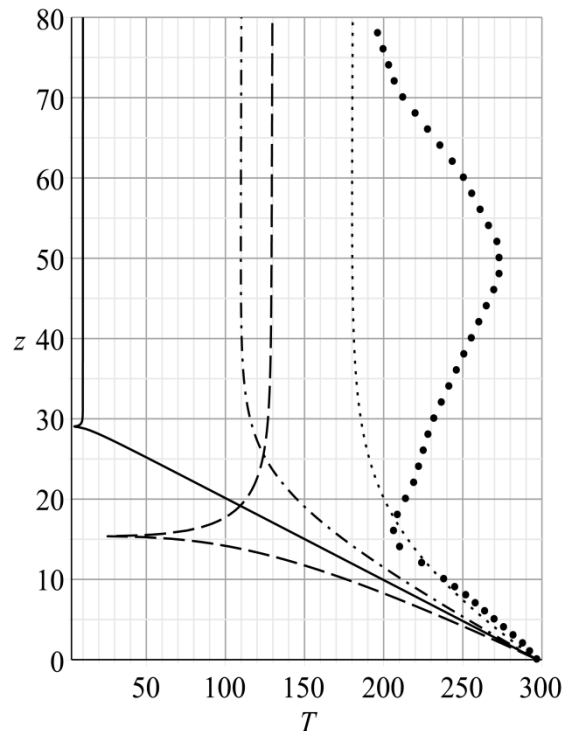
Профили адиабатической температуры при $T_b = 297.15$ К и различных значениях T_{zb} .

Задача о равновесии столба сжимаемой атмосферы.

Анализ стационарного решения



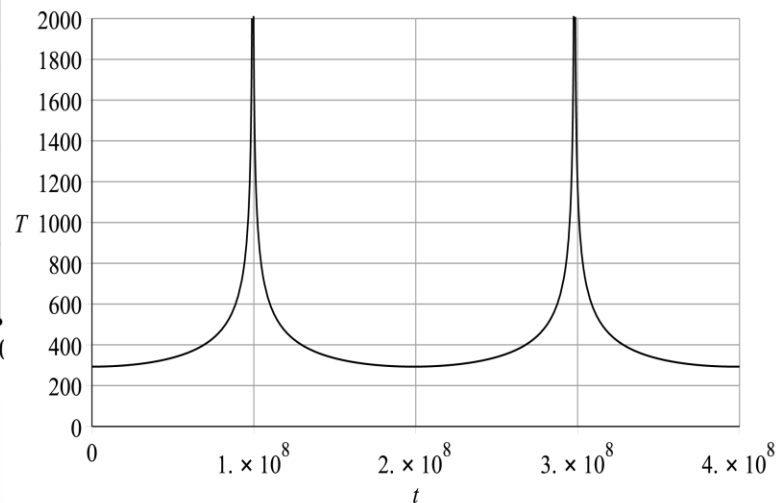
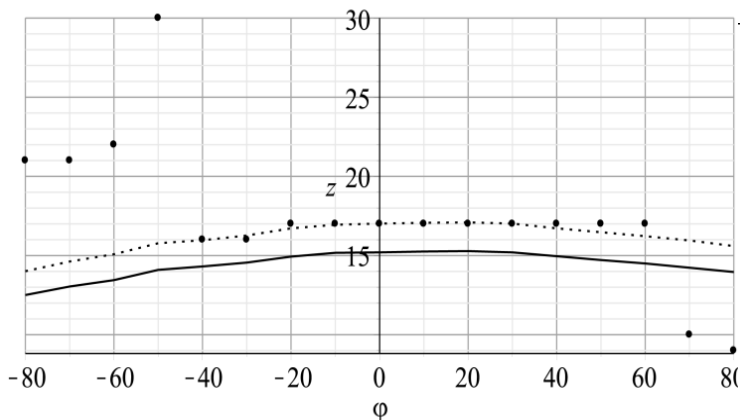
Профили сжимаемого решения при разной скорости звука $c_0 = Const$.



Численное решение стационарного уравнения, $T_b = 297,15$ K, $c^2 = \gamma R_a T$.

Задача о равновесии столба сжимаемой атмосферы.

Анализ решения

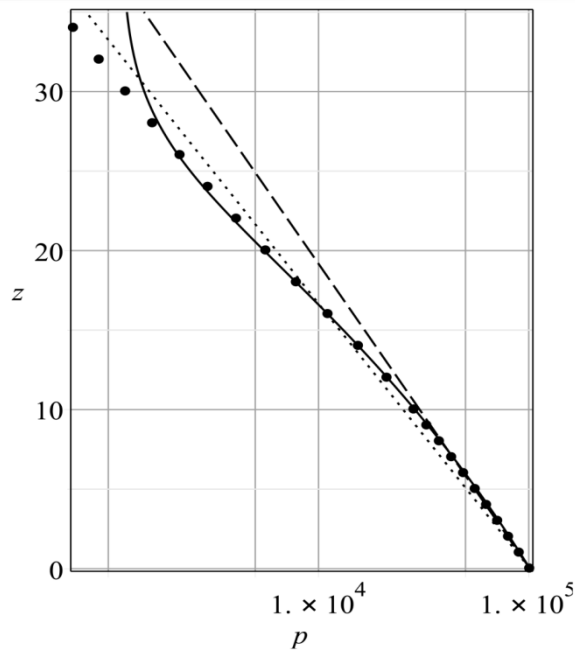


Зависимость высоты особой точки сжимаемого решения от широты (в км). Широтное изменение высоты тропопаузы летом отмечены кружками. Отрицательные значения оси абсцисс соответствуют южным, положительные – северным широтам.

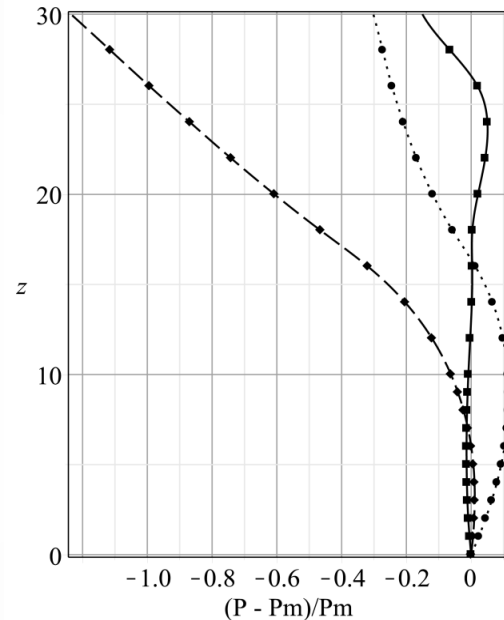
Зависимость от времени выражения сжимаемого решения при $\lambda_T = 10^{-16} \text{ с}^{-2}$. Значения температуры выражены в градусах Кельвинах и ограничены величиной 2000 К, время в секундах.

Задача о равновесии столба сжимаемой атмосферы.

Анализ решения



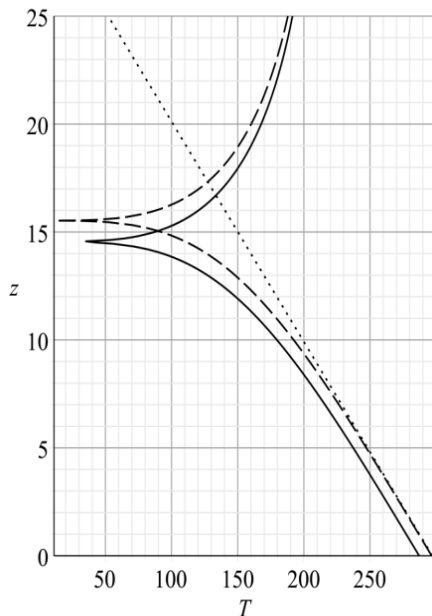
Распределение давление (в Паскалях) по высоте (в километрах) для справочной атмосфере в июле. Использована логарифмическая шкала.



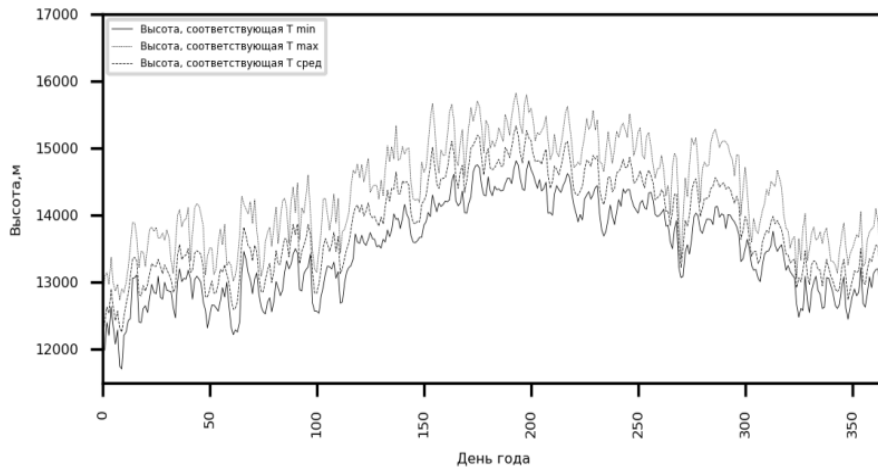
Разности между измерениями давления и решениями уравнения (6) (в Паскалях), высота в километрах.

Задача о равновесии столба сжимаемой атмосферы.

Анализ решения. Владикавказ.



Теоретические высоты тропопавзы, Владикавказ, 2009



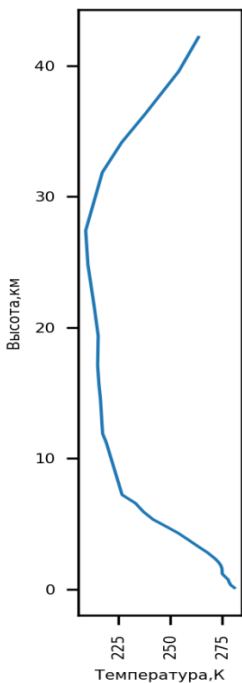
Профили решения (1) при различных значениях приземной температуры T_b выбранной из измерений для 15-го июля 2020 года для Владикавказа. Сплошная кривая – минимальная суточная температура (14.0 C), пунктирная кривая – максимальная суточная температура (23.45 C).

Высота (в метрах) острых минимумов адиабаты (1), вычисленная для минимальных (сплошная кривая), максимальных (кривая с тонким пунктиром) и средней (пунктирная кривая) температур на высоте 2 м для Владикавказа за 2009 г.

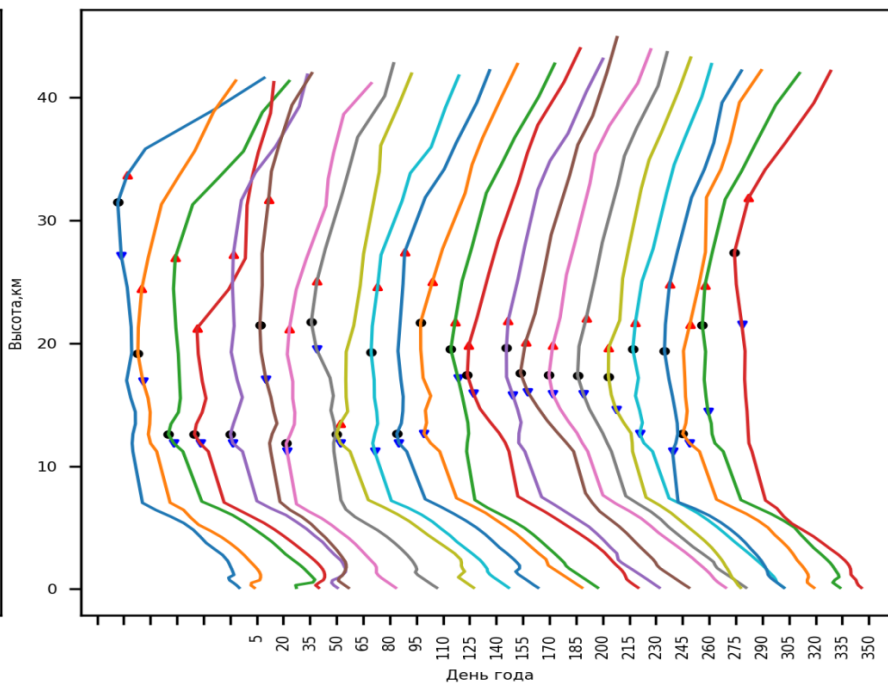
Задача о равновесии столба сжимаемой атмосферы. Анализ решения, Владикавказ, измерения

Локация: (43.0,44.75) -Владикавказ,2021

Профиль температуры



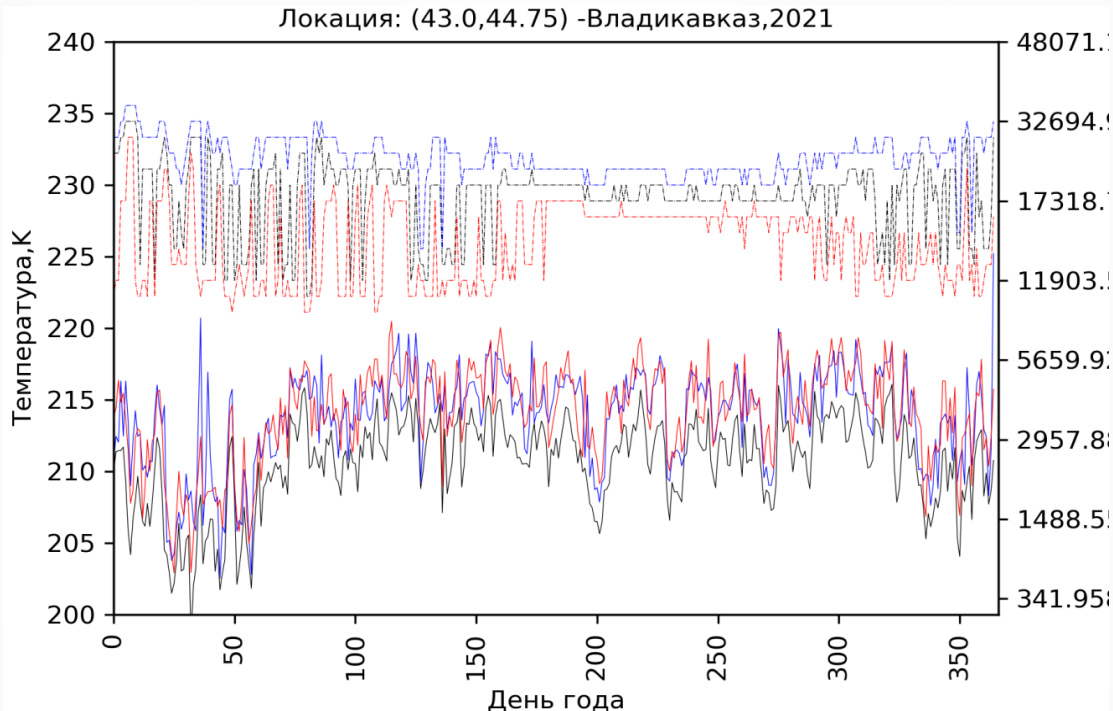
Годовой ход профилей



Измерения профилей температуры. Алгоритм определения тропопаузы по максимально удаленному от минимума превышению температуры больше +5 К.

Задача о равновесии столба сжимаемой атмосферы.

Анализ решения. Владикавказ, измерения.



Интервал высот тропопаузы (сверху, правая шкала) и температура тропопаузы (снизу, левая шкала) для Владикавказа за 2021 год по данным ERA5 [Коперникус]. Алгоритм определения коридора по превышению температуры над минимумом $+5 \text{ }^\circ\text{K}$ сверху и снизу.

Задача о равновесии столба сжимаемой атмосферы.

Анализ трендов по времени решения

уклон тренда	y-пересечение
Высота холодной точки тропопаузы, реанализ	
2,8 м/год	9,1667 (милибар)
Высота верхней границы тропопаузы, реанализ	
7,5 м/год	7,8333 (милибар)
Высота нижней границы тропопаузы, реанализ	
16,3 м/год	10,9167 (милибар)
Высота острого минимума адиабаты (1), теория	
4,5 м/год	

Благодарю за внимание!